

调谐外腔半导体激光器输出双稳环的确定*

陈建国 李 焱 李大义 陆 洋
(四川大学光电系, 成都, 610064)

摘要: 在考察了外腔半导体激光器(ECLD)的振荡频率 ν 与激光二极管(LD)中载流子密度 N (或增益 g)、介质的折射率 n 以及LD第 m 个模式的共振频率 ν_m 间的关系之后,利用微扰法对LD的 N - ν 曲线上被前人错判为不稳定的两个关键区段重新进行了分析,结果表明这两个区段是稳定区段,据此,可以确定在对ECLD进行调频的过程中其增益介质的 N - ν 曲线上出现的双稳环。

关键词: 双稳 外腔半导体激光器 微扰法

Determination of hysteresis loops for tunable external cavity semiconductor lasers

Chen Jianguo, Li Yan, Li Dayi, Lu Yang

(Department of Optoelectronics, Sichuan University, Chengdu, 610064)

Abstract: Investigations have been made to determine relations between the oscillation frequency ν of the ECLD and threshold carrier density N (or gain coefficient g), refractive index n as well as mode frequency ν_m of the diode. Afterwards, the perturbation method has been adopted to check the stability of the state represented by the points on the N - ν curve. The results indicate that two segments of vital importance for the formation of the loop, which were formerly misjudged as representing non-stable states, represent stable state. Therefore, the hysteresis loop on the N - ν curve can be accomplished.

Key words: bistability external cavity semiconductor lasers perturbation method

引 言

外腔半导体激光器为研究光与物质相互作用提供了一个优良的系统。近年来,人们对强反馈情况下调谐ECLD的双、多稳特性进行了不少的研究^[1~4]。实验观察和数值模拟证实:由于LD的增益(或载流子密度)与折射率之间存在着相互依赖关系,在一定的情况下,调谐ECLD的 P - ν (输出功率-振荡频率)和 P - I (功率-电流)曲线上会出现双稳环;影响双稳环特性的关键因子包括联系增益与折射率的谱线增宽因子 α ,外腔反馈 R_1 和LD后端面(即靠近外腔的那个端面)的反射率 R 。

关于状态稳定性的问题,人们也进行了一些探讨。Zorabedian^[2]曾对 N - ν 曲线上诸点所代表的状态的稳定性进行了研究,其结论是:在强反馈情况下, N - ν 曲线上斜率小的那段代表的状态是稳定的,大的那段是不稳定的。可惜作者没有意识到,其理论把 N - ν 曲线上两个具有三解的区段中的关键部分误判为不稳定,这给构成双稳环带来了困难。Yan等人^[4]用扰动的办法对稳定性进行了分析,其结论与Zorabedian的有相同之处,也有不同之处。另外,他们也没有注意到所选择的参量使得ECLD在大部分频率区段处于失控状态,即激光器在事实上

* 国家自然科学基金资助。

是处于 LD 单管振荡的状态,这就使人们不得不对作者的某些结论表示怀疑。在本文中,我们首先研究了 ECLD 的振荡频率与 LD 的模式频率之间的关系,在此基础上进一步确立了各扰动量之间的关系,之后用扰动法证明了 N - ν 曲线上被错判的区段中有两个关键的小段在事实上仍是稳定区段,据此,我们可以确定 N - ν 曲线上的双稳环。

1 ECLD 的振荡频率与 LD 的模式频率

为了简化讨论,假设外腔长度可自动微调^[5]或光栅反馈的有限线宽使得 ECLD 可在反射峰值附近自动选择一个满足位相条件的频率振荡^[3],于是我们可以集中讨论介质的载流子(或增益)影响。如果外腔长度远远大于 LD 的长度 L ,那么可以近似认为 ECLD 的振荡频率连续可调。当 ECLD 被调在频率 ν 处振荡时,所需的阈值增益 $G(\nu)$ 应该满足^[5]:

$$G(\nu) = \{ [R(1-R_1)^2 \cos^2 \eta + (R_1-R)(1-RR_1)]^{1/2} - r(1-R_1) \cos \eta \} / [r_2(R_1-R)] \quad (1)$$

式中, r_2 为 LD 前端面的反射系数,本文中小写字母 r 表示大写字母 R 的平方根,它们分别表示端面反射系数和反射率, η 为光线在 LD 中传播一周的相移,即 $\eta = 4\pi n(N)L\nu/c$ (2)

上式中, c 为真空中的光速,折射率 $n(N)$ 与载流子密度的关系取为:

$$n(N) = n_F [1 - h(N - N_F)] \quad (3)$$

式中, N_F 为某个参考载流子数密度,此时介质的折射率为 n_F , h 是一个正比于谱线增宽因子 α 的常数。

假设 ECLD 在 LD 增益峰附近振荡,即介质增益对频率的微弱依赖关系可以忽略,那么要使 ECLD 在某个频率 ν 振荡所需的阈值载流子密度为 $N = N_0 + [\gamma L + \ln G(\nu)] / (\alpha \Gamma)$ (4) 式中, N_0 为透明载流子密度, γ 为损耗系数, α 是微分增益, Γ 为限制因子。研究表明,当 ECLD 被调在 LD 模式共振频率(比方说第 m 个模频)处振荡时, N 取极小值 N_M , 在 LD 模式反共振频率振荡时, N 取极大值 N_X 。由(1)式和(4)式可得:

$$N_M = N_0 + \{ \ln[(1+rr_1)/r_2/(r_1+r)] / L + \gamma \} / (\alpha \Gamma) \quad (5a)$$

$$N_X = N_0 + \{ \ln[(1-rr_1)/r_2/(r_1-r)] / L + \gamma \} / (\alpha \Gamma) \quad (5b)$$

在上述论断中,要注意的是,模频 ν_m 是与载流子密度的选择有关的。因而,在 N 取 N_M 时, LD 第 m 个模式的模频(记作 ν_{Mm}) 满足 $\nu_{Mm} = mc / [4\pi n(N_M)L]$ (6)

在本文中,模频下标的第一个字母(上式中为 M) 与确定该模频的载流子密度的下标相同。据此,当 N 取 N_X 时, LD 的共振频率 ν_{Xm} 与 ν_{Mm} 是不同的。把 N_X 代入(3)式中可以求得对应的折射率,然后用 $n(N_X)$ 代替(6)式中的 $n(N_M)$ 就可求得 ν_{Xm} 。综上所述,可以认为一旦 ECLD 的振荡频率确定以后, LD 中的载流子密度、折射率以及第 m 个模频也就随着确定了。从物理的角度可以认为, ECLD 振荡频率 ν 的变化使 LD 的模频改变,于是(1)式中的 η 亦随之而变。这种考虑从数值计算角度看也是方便的,也正因为如此,目前见到的有关文献基本上都是用模频作参考值来进行计算的。

为了方便研究,在本文中我们选定 $N_F = (N_M + N_X) / 2$ (7)

对应的第 m 个模频 ν_{Fm} 亦可由(6)式定出。在较多的文献中^[2~4], LD 单管振荡阈值 N_T 被用来确定折射率和模频。于是,在对测量结果进行解释的时候有一个参考点的转换问题,利用(3)式和(6)式是不难解决的。把(7)式代入(1)式后可得 $K \cos \eta = \sinh[\alpha \Gamma L (N - N_F)]$ (8)

式中, $K = r(1-R_1) / [(1-RR_1)(R_1-R)]^{1/2}$ (9)

在图 1 中, 我们画出了 ECLD 在不同频率振荡时 LD 中载流子密度变化的曲线。为了使该图具有一定的普适性, 纵坐标表示参量 Z , 它与载流子密度的关系是 $Z = 2(N - N_F)/(N_X - N_M)$ (10)

作图时使用的参数包括: $R_1 = 0.1, R_2 = 0.3, \Gamma = 0.3, n = 4.16, \alpha = 2.5 \times 10^{-16} \text{ cm}^2, \gamma = 30 \text{ cm}^{-1}, N_0 = 1 \times 10^{18} \text{ cm}^{-3}, c = 2.99 \times 10^{10} \text{ cm/s}, L = 0.02 \text{ cm}, \alpha = 5, \nu_{Fm} = 2.3 \times 10^{14} \text{ Hz}$ (对应波长 1300 nm), 利用上面参数可算得 $\Delta\nu = 1.8 \times 10^{11} \text{ Hz}$ 。

从图中可以看到, 表示 N_M 和 N_X 的水平线分别与 $Z-\nu$ 曲线相切于 P_m 和 Q_m , 下标 m 表示这两点属于 LD 的第 m 个模。据此, 我们还可以在图中作出属于第 $(m-1)$ 个模的 $Q_{(m-1)}$ 点, 属于第 $(m+1)$ 模的 $P_{(m+1)}$ 点等。由于参量的选择, 表示单管阈值载流子密度 N_t 的水平线高于表示 N_X (即 $Z = 1$) 的水平线, 因而不出现在图中。从前边的分析可知, P_m 点的坐标是: $Z_{P_m} = -1, \nu_{P_m} = \nu_{Mm}$; Q_m 点的坐标是: $Z_{Q_m} = 1, \nu_{Q_m} = \nu_{Xm} + \Delta\nu/2$ 。这里, $\Delta\nu$ 表示 LD 的模式间距, 可以近似当成常数。用 LD 的参数求得 $\Delta\nu$ 之后, 可以在表示 N_X 的水平线上定出一个 T 点, 它代表的频率是 ν_{Xm} 。由 (3) 式和 (6) 式可以证明: 当 ECLD 的振荡频率从 ν_{P_m} 变化到 ν_{Q_m} 的过程中, LD 的第 m 个模式的频率将从 ν_{Mm} 开始沿直线 P_mT 变化到 T 点所代表的频率 ν_{Xm} ; 如果载流子密度真能够从 Q_m 点逐渐变化到 $P_{(m+1)}$ 点的话, LD 的第 m 个模式频率就会从 ν_{Xm} 开始沿直线 TP_m 返回到 ν_{Mm} 。

在图 1 中, 我们还示出了如何由 ECLD 的振荡频率 (比方说 ν_{osc}) 确定载流子密度 N_{osc} 及 LD 的第 m 个模式频率 $\nu_{osc m}$ 。在知道 ν_{osc} 后, 可以通过 ν_{osc} 作垂线, 由它与 $Z-\nu$ 曲线的交点 U 所代表的 Z 值定出对应的载流子密度 N_{osc} , 然后通过 U 点作水平线, 它与直线 P_mT 的交点所代表的频率就是 ECLD 在 ν_{osc} 振荡时 LD 的第 m 个模式的频率。

2 双稳环的跳变点

在 R 不大的情况下, ECLD 的阈值电流变化不大, 此时可近似认为输出功率的增加与载流子密度的减少成正比。因此, 我们研究 $Z-\nu$ 曲线上的双稳环就可以了。在文献 [6] 中, 我们曾研究过载流子密度的跳变点, 即图 1 中的 A 点和 C 点。在这两点处有 $d\nu/dN$ 为 0, 由 (1) 式可求得这两点处的载流子密度 $N_{A, C}$ 满足:

$$N_{A, C} = \ln[W \pm (W^2 - 1)^{1/2}] / (2\alpha\Gamma L) + N_F \quad (11)$$

式中,
$$W = 2(K^2 + 1) / (\alpha^2 + 1) - 1 \quad (12)$$

于是, 由 (8) 式可以求出在 A, C 两点处, 参量 η 满足:

$$\sin^2 \eta_{A, C} = R_1(1 - R)^2 / [R(1 + \alpha^2)(1 - R_1)^2] \quad (13)$$

文献 [2], [4] 的研究表明, 在 $Z-\nu$ 曲线上从 P_m 到 Q_m 这段代表的是稳定的状态, 而从 Q_m 到 $P_{(m+1)}$ 这段代表的是不稳定的状态, 这表明 C 到 $P_{(m+1)}$ 和从 Q_m 到 A 这两小段的点代表的状态是不稳定的 (参照图 1)。从图 1 中可以看到, 在这两段中, 一个频率对应 3 个载流子密度, 因而如果其中两个状态不稳定, 很难想象跳变点出现在这两个区段。同时, 由于有 3 个解, 人们也很难想象 $P_{(m+1)}$ 和 Q_m 会是跳变点。看来, 有必要重新考虑上边提到的两个区段的稳

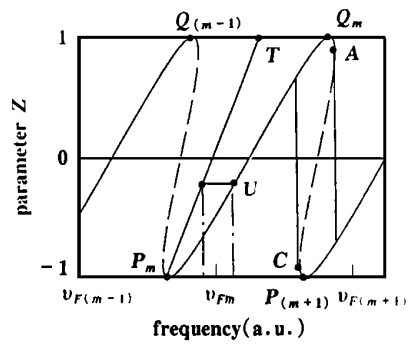


Fig. 1 The hysteresis loop on $Z-\nu$ curve of ECLD

定性。下边我们就用扰动法^[4]来分析这两个关键区段的稳定性问题。

假设某种扰动使得 LD 内的载流子密度变化了 δN_1 , 它将使折射率变化 δn_1 , 从而使 LD 的模式频率移动 $\delta \nu_{m1}$ (或者等价的说, 参量 η 变化了 $\delta \eta_1$), 相应地 ECLD 振荡所需的增益改变了 δG_1 。为了满足 δG_1 就需要载流子密度调整到另一个水平, 即变化量调整到 δN_2 。如此循环下去, 载流子密度的增量将构成一个序列: $\delta N_1, \delta N_2, \delta N_3, \dots$ 。如果 $|\delta N_j / \delta N_{(j-1)}| < 1$ (此处 j 为正整数), 那么扰动就会逐渐消失, 对应的点应该是个稳定点^[4]。

利用(3)式可以求出 δN_1 引起的 δn_1 , 由(2)式定出相应的 $\delta \eta_1$, 通过(1)式找到对应的 δG_1 之后, 最终我们可用(4)式得到 δN_2 。经过运算后, 我们得到:

$$\delta N_2 / \delta N_1 = -\alpha r(1-R_1) \sin \eta / [R(1-R_1)^2 \cos^2 \eta + (R_1-R)(1-RR_1)]^{1/2} \quad (14)$$

若要上式左端的绝对值小于 1, η 就应满足 $\sin^2 \eta < R_1(1-R)^2 / [R(1+\alpha^2)(1-R_1)^2]$ (15) 与(13)式相比, 可以看出 A, C 两点正好是不稳定区段的起始点。换句话说就是: 在 Z - V 曲线上, 从 C 到 $P_{(m+1)}$ 以及从 Q_m 到 A 这两个区段的点所代表的状态是稳定的。于是, 我们可以说: A 点是载流子密度的下跳点(即功率上跳点), C 点是载流子密度的上跳点(即功率下跳点)。

在图 1 之后, 我们曾说过, 由于参量的选择, 表示单管阈值(即 $Z = Z_T$)的水平线不会出现在图中。在有些实验条件下, 比方说在 R_1 比 R 大不了多少时(文献[4]就属于这种情况), Z_T 就会落入图中。在 R 和 R^2 不变的情况下, N_T 不变。随着 R_1 向 R 靠近, N_X 迅速增加(当 R_1 等于 R 时 N_X 等于无穷大), 而 N_M

的下降有限, 于是造成了 Z_T 相对位置下降。当代表 Z_T 的水平线落入图中之后, 在该水平线与 Z - V 曲线之间必然存在着交点。 Z - V 曲线在该水平线之上的部分表示 ECLD 的阈值高于 LD 的单管阈值, 因而当光栅反射频率被调在相应区段时, 外腔失控, 激光器事实上是单管在振荡。 Yan 等人^[4]在水平线上的区段找到一些稳定区是没有道理的。在图 2 中, 我们画出了在 $R = 0.01$ 时, Z_X (实线), Z_T (点划线) 和 Z_M (虚线) 随 R_1/R 变化的曲线。计算中使用的其它参数与图 1 相同。从图中可以看到, 随 R_1 向 R 靠近, 表示 Z_T 的水平线逐渐向 Z_M 靠近, 外腔能控制的频率范围随之减小。此外, 利用 N_M 和单管阈值的表达式可以证明, 前者恒小于后者, 因而 Z_M 始终低于代表单管阈值的水平线。

图 2 展示了参数 Z 随相对反射率 R_1/R 变化的曲线。图中包含三条主要曲线： Z_X (实线)、 Z_T (点划线) 和 Z_M (虚线)。此外，图中还包含两条水平参考线，分别位于 $Z=1$ 和 $Z=-1$ 处。随着 R_1/R 从 1 增加到 10， Z_X 和 Z_T 均随 Z 增加而增加，且 Z_X 始终高于 Z_T 。而 Z_M 则随 Z 增加而减小。图中还标注了 Z_r 和 Z_z 等点。

Fig. 2 Variation of parameter Z with relative reflectivity R_1/R

参 考 文 献

- 1 Kakiuchi H, Ohtsubo J. IEEE J Q E, 1994; 30 (9): 2087
- 2 Zorabedian P. IEEE J Q E, 1994; 30 (7): 1542
- 3 Binder J, Cormack G D, Somani A. IEEE J Q E, 1990; 26 (7): 1191
- 4 Yan C, Wang X, McInerney J G. IEEE J Q E, 1996; 32 (5): 813
- 5 Zhou X H, Chen J G, Lu Y C. Appl Opt, 1997; 36 (8): 4138
- 6 Li Y, Chen J G, Li D Y *et al.* IEEE J Q E, 1999; 35 (10): 1521

作者简介: 陈建国, 男, 1945 年出生。教授, 博士生导师。主要从事半导体激光器及光通信等方面的研究。